

国外科技资料译丛

微波铁氧体研究

国外科技資料譯丛

微 波 鐵 氧 体 研 究

內 部 資 料



1961年5月

本譯文集分为四章，即：概述、制造和性能、应用、参数測試；共計編入二十篇文章。

本譯文集可供无线电电子工业方面的工程技术人员、科学硏究单位的研究人員，以及高等院校无线电电子学系和物理系师生等参考。

微波铁氧体研究

*
无线电元件及材料国际动态編輯部編譯

1961年5月出版

*
工本費1.5元

目 录

第一章 概述	(5)
铁氧体特性的物理基础及其微波应用	K. H. 哥脱等 (5)
第二章 制造和性能	(29)
某些多晶稀土柘榴石的亚铁磁谐振	G. P. 洛德里格等 (29)
铁氧体介电性能和尺寸对谐振峰宽度的影响	A. Л. 米凯良等 (48)
铁氧体中鎔的替代	T. R. 麦吉尔等 (51)
不同方法制成的几种铁氧体的物理-化学性能的研究	O. Д. 特列迪雅科夫等 (72)
微波器件用铁氧体的若干制备問題	D. H. 伯林格尔等 (85)
钇-铁和钇-镍柘榴石培晶的更好方法	J. W. 尼尔申 (105)
第三章 应用	(110)

放 大 器

铁氧体放大器的实验研究	B. П. 特欽斯基等 (110)
半静磁型铁氧体放大器的实验研究	W. L. 怀利等 (121)
纵向注入場铁磁放大器	(125)
介质铁磁放大器	(128)

隔 离 器

铁氧体谐振隔离器的设计問題	A. Л. 米凯良等 (130)
铁氧体谐振隔离器	(144)
大隔离比铁氧体谐振隔离器	A. Л. 米凯良等 (152)

环行器和相移器

微波环行器	E. 彼維特等 (163)
微波法拉第旋转器件的设计問題	S. J. 莱凡多斯基 (180)
互易及非互易矩形波导相移器	E. 彼維特 (186)

第四章 測 試	(207)
微波铁氧体导磁率和电容率的諧振腔測量法 J. N. 洛格斯 (207)
多晶铁氧体铁磁諧振吸收綫寬度的測量 IO. H. 柯丘科夫等 (213)
鐵氧体隔离器反向損耗測量法 C. C. 彼列里姆特尔 (219)

第一章 概述

鐵氧體特性的物理基礎及其微波應用*

K. H. 哥脫，R. 益揚

由於鐵氧體具備優異的介電特性和磁特性，近年來已廣泛應用於微波技術。一台現代化的微波設備，如尚未使用新穎鐵氧體元件（如環行器、隔離器等），在今天几乎是不可想象的。鐵氧體元件的功能，由下述非互易效應產生：

1. 鐵磁諧振；
2. 法拉第效應；
3. 場移效應。

一 理論基礎

鐵磁諧振吸收，是在1946年由格里菲茨^[1]在研究鎳薄膜時發現的。此種效應的理論假設早在1935年即由蘭道和里夫西茨^[2]作出。研究鐵磁諧振吸收用的材料，是小球狀或小圓片狀，將其裝在適當的諧振腔中，然後觀察諧振腔的品質變化與外磁場的關係。波長為3厘米時，確定出強烈的微波功率吸收作用發生在3000奧左右。產生這些損耗的原因是不難理解的，即鐵氧體材料，或廣泛地說，鐵磁材料，是由許多自發磁疇組成的，它們受所加外磁場的作用並按該磁場方向定向。此時，組成磁疇的電子磁矩在接通磁場後，並不直接按磁場方向旋轉，而以這一方向為軸，繞軸進動。若所有磁疇的磁化強度之和等於磁化矢量M，則可用關係式

$$\frac{dM}{dt} = \gamma [M \times H] \quad (1)$$

* K. H. Gothe, R. Jähn. Über die Physikalischen Grundlagen des Verhaltens und die Anwendung der Ferrite im Mikrowellengebiet. Nachrichtentechnik, 1960, 9, 405~413. 董培芝譯。

表示它在磁场 H 中的运动。式中， $\gamma = \mu_B g$ ，即所谓旋磁比； μ_B 和 g 分别表示玻耳磁子和兰道因数。

如果采用笛卡儿坐标，且 H 为 z 轴方向，则方程（1）可详细地写成：

$$\begin{aligned} -\frac{dm_x}{dt} &= \gamma m_y H_z \\ -\frac{dm_y}{dt} &= -\gamma m_x H_z \\ -\frac{dm_z}{dt} &= 0. \end{aligned} \quad (2)$$

后一方程适用于图 1 所示孔径角很小的进动。

通过进动，磁化矢量 M 在垂直于 H 的平面上，产生两个与时间有关的分量 m_x, m_y 。下面均用小写字母表示与时间有关的量，反之，与时间无关的量，则用大写字母表示。

从方程（2）得出， $e^{i\omega t}$ 形式的值与时间的关系为：

$$\begin{aligned} j\omega m_x &= \gamma m_y H_z \\ j\omega m_y &= -\gamma m_x H_z \end{aligned}$$

和

$$(\omega^2 - \gamma^2 H_z^2) m_y = 0$$

即

$$\omega = \gamma H_z. \quad (3)$$

由此可算出任一给定磁场强度 H_z 所属的进动频率。克脱尔^[3]在其论文中指出，在进行这种计算时，应考虑被测材料的试样形状，他并就旋转椭圆体的进动频率推导出如下的关系式：

$$\omega = \gamma \{ [H_z + (N_x - N_y) M_0] [H_z + (N_y - N_z) M_0] \}^{1/2}. \quad (4)$$

N_x, N_y, N_z 是所谓退磁因子。方程（3）表示此方程的一种特殊情况，它适用于

$$N_x = N_y = N_z,$$

即适用于一球体，或适用于无限扩展的介质。由于种种原因，进动受到了时间的限制，因此在 M 尚未具有 H_z 的方向时，图 1 中磁化矢量所通过的圆锥，其孔径角总是比较小的。

如果这时有振幅很小的高頻磁場在垂直于 H_x 的 $x-y$ 平面上作用，而該磁場的頻率又与进动頻率一致，则衰減便被高頻磁場傳輸給材料的能量所抵消。放在高頻磁場起作用的期間，磁化矢量始終在作进动；这时，进动圓錐的孔徑角則取决于該磁場的振幅。因此，可以把这一整体看成是由一外加交变电压激发而产生振蕩的衰減振蕩迴路。

如果在方程 (1)、(2) 中考虑到起作用的高頻 磁場 h_x, h_y ，則运动方程为：

$$\begin{aligned}\frac{dm_x}{dt} &= \gamma \{ m_y H_z - (M_0 + m_z) h_y \} \\ \frac{dm_y}{dt} &= \gamma \{ (M_0 + m_z) h_x - m_x H_z \} \\ \frac{dm_z}{dt} &= \gamma \{ m_x h_y - m_y h_x \}.\end{aligned}\quad (5)$$

高頻磁場的振幅很小时， $m_z \ll M_0$ ，因此又可使 $\frac{dm_z}{dt} = 0$ 。如果在方程 (5) 中亦考虑到这一点，并将方程按 m_x 和 m_y 排列，则得出：

$$\begin{aligned}m_x &= \frac{\gamma^2 M_0 H_z}{\gamma^2 H_z^2 - \omega^2} h_x - j \frac{\omega \gamma M_0}{\gamma^2 H_z^2 - \omega^2} h_y \\ m_y &= \frac{\gamma^2 M_0 H_z}{\gamma^2 H_z^2 - \omega^2} h_y + j \frac{\omega \gamma M_0}{\gamma^2 H_z^2 - \omega^2} h_x; \quad m_z = 0.\end{aligned}\quad (6)$$

用表示磁感应强度 b 的方程

$$b = h + 4\pi m$$

可按方程 (4) 将其改写成：

$$\begin{aligned}b_x &= \left(1 + \frac{4\pi\gamma^2 M_0 H_z}{\gamma^2 H_z^2 - \omega^2} \right) h_x - j \frac{4\pi\omega \gamma M_0}{\gamma^2 H_z^2 - \omega^2} h_y \\ b_y &= j \frac{4\pi\omega \gamma M_0}{\gamma^2 H_z^2 - \omega^2} h_x + \left(1 + \frac{4\pi\gamma^2 M_0 H_z}{\gamma^2 H_z^2 - \omega^2} \right) h_y\end{aligned}\quad (7)$$

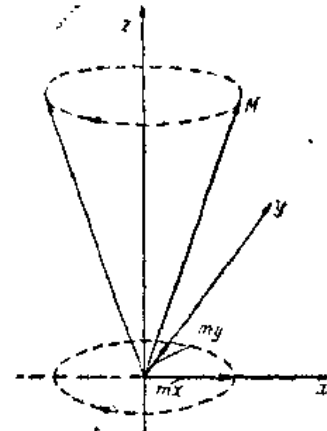


图1 磁化矢量在外加磁场中的进动运动。

$$b_z = h_z.$$

根据这些由玻耳德尓^[43]推导出的方程，在磁感应强度 b 和磁场强度 h 之间存在着一种张量关系。张量是不对称的，它在文献中为：

$$[\mu] \text{ 张量} = \begin{pmatrix} \mu - j\alpha & 0 \\ j\alpha & \mu & 0 \\ 0 & 0 & 1 \end{pmatrix}$$

式中

$$\mu = 1 + \frac{4\pi\gamma^2 M_0 H_z}{\gamma^2 H_z^2 - \omega^2}; \quad \alpha = -\frac{4\pi\omega\gamma M_0}{\gamma^2 H_z^2 - \omega^2}.$$

下文将以法拉第效应为例，详细说明导磁率的张量特性及其张量的不对称结构，这是铁氧体材料对电磁波产生非互易特性的原因。

因为涉及的是经过不同程度衰减的振荡，故吸收曲线亦不是[无限]率的，而是具有一有限的带宽的。这一问题在形式上可通过运动方程(1)中加入各衰减项来解决。文献中记载着下述衰减项。

根据兰道和里夫西茨：

$$-\frac{\alpha_1}{|M_0|} \gamma M_0 \times [M_0 \times H],$$

式中 α_1 是实验中确定的衰减常数。此外，根据布洛赫-布卢姆-贝尔庚：

$$-\frac{M - M_0}{T_1} + \frac{|M|}{|H|} \cdot \frac{H}{T_2}.$$

T_1 和 T_2 分别表示电子自旋之间的张弛作用及电子自旋与晶格之间的张弛作用。据此，方程(6)中张量导磁率的各分量均为复量：

$$\mu = \mu' - j\mu'' \text{ 和 } \alpha = \alpha' - j\alpha''.$$

这种计算法是半经典的，即在描述相互耦合的电子自旋的量子力学方程中，采用了一些经典值。因此，这种理论是不能令人满意的，玻耳德尓^[44]和鲁青格尔及基特尔^[45]已用量子力学计算法代

替。然而，当时其結果不过是取得了基特尔諧振方程(4)，諧振曲線的寬度及其不对称形状仍未得到解釋。此外，当时一方面由怀脫、沙爾特和梅賽罗^[6]确定了鐵磁諧振吸收的綫型結構；另一方面，达蒙等人^[7]又在用較高的微波功率进行測量时，觀察到在鐵磁諧振时出現的第二吸收峰值。达蒙等人所作測量表明，除基特尔諧振頻率〔方程(4)〕外，还可能有許多固有頻率存在。怀脫、沙爾特和梅賽罗測得的諧振綫，可用一磁化后的鐵氧化物試样的各个靜磁固有頻率的頻譜解釋之，而上述在功率較高时出現的各种效应，則用电子自旋波頻譜与磁化矢量的同形状进动間的耦合作用闡明。

克洛斯頓等人^[8]，从理論上探討了鐵氧化物晶体中晶格的破坏对电子自旋波頻譜的影响以后，求出了諧振吸收的綫寬，这些綫寬与已知的測試数据很接近。此外，他們还指出，諧振曲線的不对称形状与此有关。

为了說明鐵氧化物材料在磁滯区内的性能，必須考慮到，并非所有的自发磁疇均是由外加恒定磁场定向的。拉杜^[9]計算了一种多晶材料中各个单晶的不同磁化方向，并同样得出了 b 和 h 之間的張量关系，他为方程(6) 中的 μ 和 α 推导出如下关系式：

$$\mu = \text{常数}, \quad \alpha = \frac{4\pi|M|\gamma}{\omega} \quad (7a)$$

$|M|$ 为总磁化量。

为简便起見，設磁化后的鐵氧化物材料是无限扩展的。为了描述电磁波在其中的傳播作用，应在考慮到 b 和 h 的張量关系情况下解出麦克斯威方程

$$\begin{aligned} \text{rot } h &= \frac{\partial d}{\partial z}; \quad \text{rot } e = -\frac{\partial b}{\partial t} \\ &= j\omega d \quad = -j\omega b. \end{aligned} \quad (8)$$

电磁波的傳播方向与所加磁场 H_z 平行，因此可以写成：

$$\begin{aligned} e &= e_0 \exp. -\gamma_0 z \\ h &= h_0 \exp. -\gamma_0 z \end{aligned} \quad (9)$$

γ_0 表示电磁波的传播常数。

因此，麦克斯威方程（8）变成：

$$\begin{aligned} e_x &= -\gamma_0 h_y \frac{1}{j\omega\epsilon} = -\frac{j\omega}{\gamma_0} \{ j\alpha h_x + \mu h_y \} \\ e_y &= \gamma_0 h_x \frac{1}{j\omega\epsilon} = \frac{j\omega}{\gamma_0} \{ \mu h_x - j\alpha h_y \} \\ e_z &= 0 \end{aligned} \quad (10)$$

此方程组可通过

$$h_x = \pm j h_y$$

解出，这就是说铁氧体材料中的自然波型由于磁化而产生圆偏振。式中的符号“±”系指偏振面的旋转方向。对两种圆偏振波 \oplus 或 \ominus 得出不同的传播常数 γ_0 ：

$$\gamma_{0+} = j\omega \sqrt{\epsilon(\mu + \alpha)} \quad (11)$$

和

$$\gamma_{0-} = j\omega \sqrt{\epsilon(\mu - \alpha)}$$

这表明两种波在材料中是以不同速度传播的。

如果设想线偏振波是由 \oplus 和 \ominus 圆偏振波构成的，则由于方程（11），线偏振波的偏振面在通过铁氧体材料后，就以一定角度旋转。旋转角从下式得出：

$$\Theta = \frac{l}{2} \sqrt{\epsilon} (\sqrt{\mu + \alpha} - \sqrt{\mu - \alpha}) \quad (12)$$

式中 l 为偏振波在铁氧体中的行程。根据方程（7），在磁滞区内对微波频率来说， $\alpha < 1$ ，而这时若不考虑损耗，则 $\mu \approx 1$ ，因此，方程（12）可简化为：

$$\Theta = \frac{l}{2} \sqrt{\epsilon} - \frac{4\pi|M|Y}{\omega} \quad (13)$$

根据上式，旋转角与总磁化量 M 成正比。文献中依据光学中的说法，把这种效应称作法拉第效应。

二 测定张量分量的实验方法

在实际应用中，用实验方法求得张量导磁率各分量是很重要的。

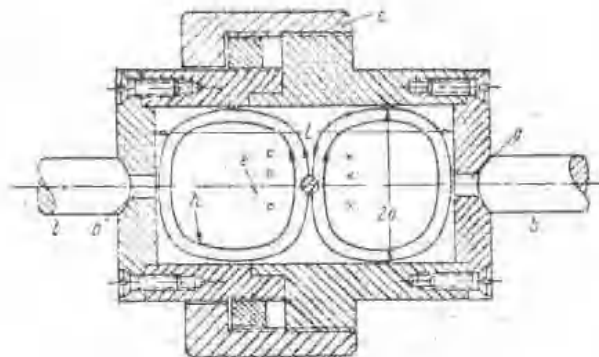


图 2 谱振器结构。

的。已有的方法，就是应用以圆偏振波激励的圆筒形谐振腔。如果把待测铁氧体材料的一个很小的试样放入 H_{112} 谐振腔，则谐振腔特性的变化就产生一大于各张量分量总和的信息。被测试样必须放置在最大磁场（高频频场）的某一位置上，并使 $E = 0$ 。图2所示为谐振腔的结构，耦合孔及磁场分布情况。

计算按微扰法进行，例如卡西米尔¹⁰⁷所指出过的方法。谐振腔的固有频率的变化等于：

$$\frac{\delta\omega}{\omega_0} = -Q_0[\mu' \pm \alpha' - 1] \quad (19)$$

其品质因数的变化：

$$\delta\left(\frac{1}{2Q_L}\right) = S_0[\mu'' \pm \alpha''] \quad (20)$$

Q_L 是加负载的 Q ，

$$S_0 = 3 \cdot \frac{\left(\frac{\pi}{L}\right)^2 \frac{\Delta V}{V_0}}{\epsilon_0 \mu_0 \eta_0^2 I_1(\eta_0 a)} \left\{ 1 - \frac{1}{\eta_0 a^2} \right\}^{-1},$$

式中 L —— 谐振腔长度；

$$\eta_0 = \frac{\varphi_{11}'}{a};$$

a —— 谐振腔半径；

φ_{11}' —— 一级贝塞尔函数一次导数的第一零点；

ΔV —— 铁氧体试样体积；

V_0 ——谐振腔体积。

图 3 所示为一种简单测量装置的方框线路图。速调管在反射极一侧用低频锯齿形电压调制，因此从速调管发出的微波就经过了调频。用一隔离器使此发射机与其它微波部件去耦。波抵达差接测试电桥时，即被分隔成两个波束。波束之一，经过一个接有绝缘元件的连续旋转装置到达测量谐振腔。谐振腔在这种情况下，是 H_{112} 通路谐振器，其第二耦合孔使一部分馈入谐振器的能量去耦而输给晶体检波器。抵达检波器的线偏振波，被连续旋转装置转换成圆偏振波。这里所接铁氧体磁棒涂有石墨，它的任务是吸收负圆偏振波。 $\lambda/4$ 铁氧体片重又使圆偏振波变成线偏振波。它出现在检波器上的信号，经过宽频带放大而发送至示波器。如果谐振器在速调管调制范围内，则在示波器荧光屏上显示出谐振腔的谐振曲线。频率测量是借助一谐振敏锐的、同时也振荡的回波箱进行。由回波箱发出的信号，连续经过放大器和间隙振荡器线路而转换成针形脉冲。此种针形脉冲用来调节阴极射线管荧光屏上的曲线亮度，这样便得到用以示出谐振曲线的频率标记。为了使测量谐振器在测量时，始终处在调制范围的中央，故用示波器的第二个射线系统示出速调管曲线。为了测定测量谐振器的品质因数，除低频锯齿形电压外，还加给速调管的反射极—低振幅高频信号（468 千赫）。这种很小的频率调制，在谐振曲线的各拐点上充其量只能转换成调幅。一窄带输入放大器将此高频信号进行第一次放大，接着便将之解调，并再次进行低频放大。这样，就在显象管的荧光屏上出现一曲线，该曲线由曲线拐点标出了两个显著的峰值。在平方检波的情况下，品质因数 Q_L 根据关系式

$$\frac{1}{Q_L} = \sqrt{3} \frac{\Delta\omega_i}{\omega_0} \quad (12)$$

计算， $\Delta\omega_i$ 为拐点间的频率间距， ω_0 是谐振频率。

图 4 为测量装置的照相图。可从图中看到测量磁场用的磁强计。在电磁体的极靴之间，夹有一小型线圈。用一同步电动机，使该线圈在磁场中以 50 赫频率旋转，在线圈中感应出的电压，将

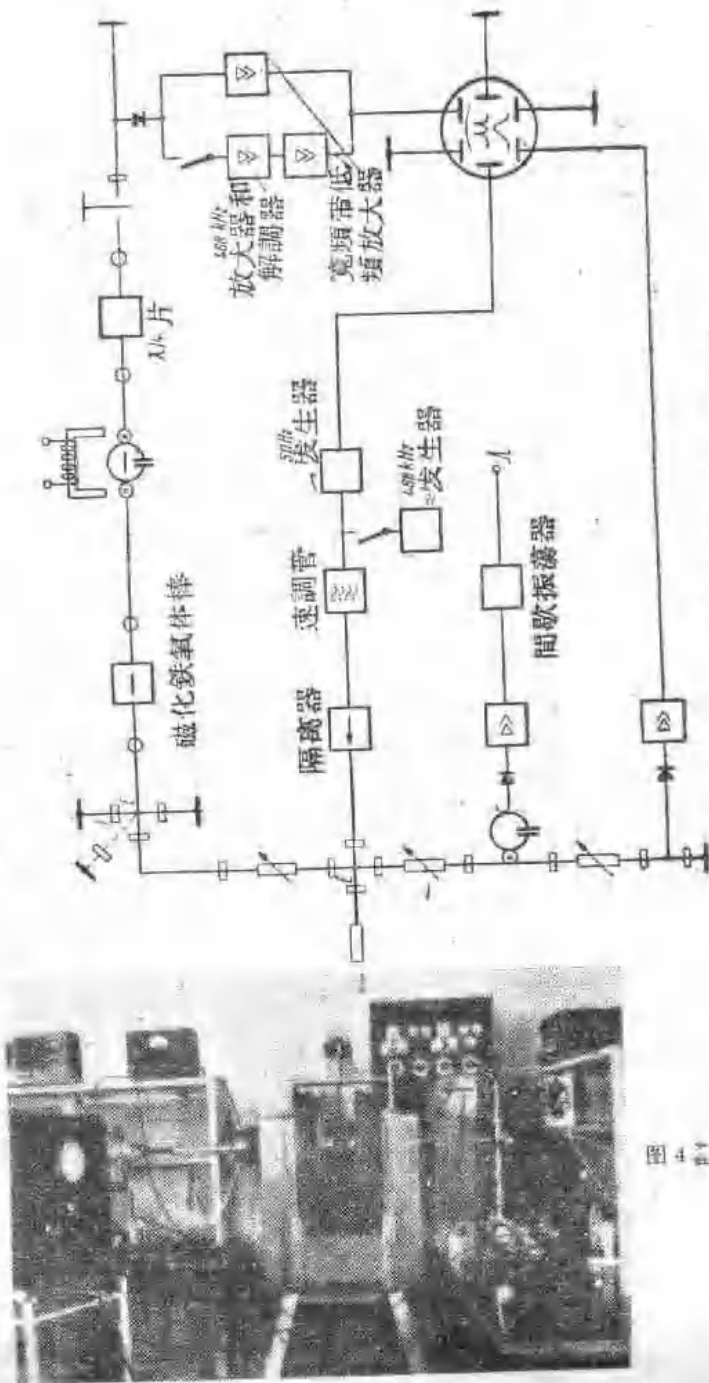


图3 测量装置的方框接线图

图4 测量装置。

在放大后指示出来。在每次測量之前，均用质子諧振磁強計进行校准，故保証測量具有足够的精度。

图 5 繪出了一种锰镁铁氧体在鐵磁諧振区内与磁场强度函数关系的測量結果。試样是个很小的球体。測量結果連成的曲綫，并不是对称地向諧振点行进的。

图 5 中繪出的曲綫，是根据布委貝根理論算出的，用它可突出測得曲綫的不对称性。

这一測量的主要結果是 $\mu'' - \alpha''$ 很小，亦即 \ominus 圆偏振波不受材料的影响。相反， $(\mu'' + \alpha'')$ 的数值在諧振时很大，致使 \oplus 圆偏振波受到很强烈的衰減。

曾用鐵氧体圓片代替球体进行了磁帶区内的測量。图 6 所示为 $\phi = 0.9$ 厘米和 $d = 0.2$ 毫米圓片的測量結果。

从曲綫的形状上可以看

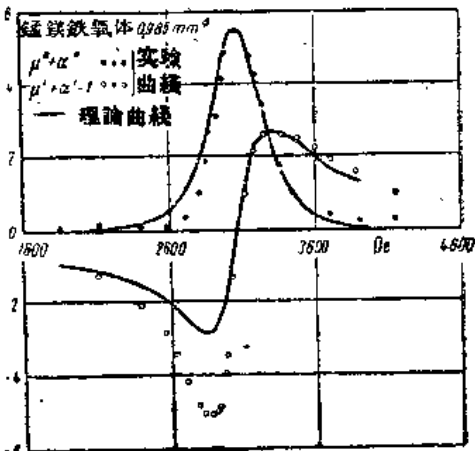


图 5 测得的锰镁铁氧体的重量分量。

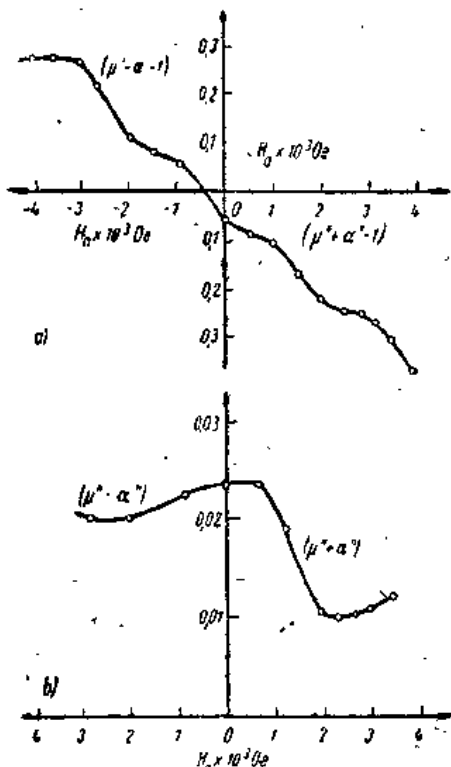


图 6 锰镁铁氧体在磁带区内的重量分量。

出，張量導磁率的輔對角素 α 與磁化成正比，這與從拉杜理論得出的結果相同。

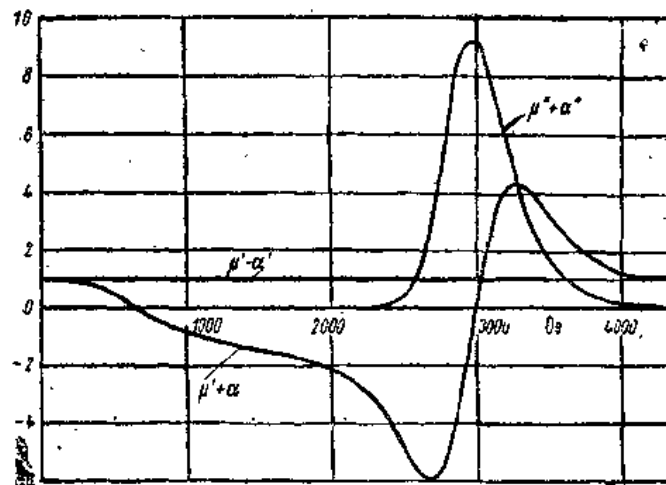


图 7 張量分量对磁场的函数关系曲线。

如果把兩種測量結果綜合于一條曲線中，則得出圖 7 所示曲線。在曲線後面存在着一個 $\mu' + \alpha' = 0$ ，而 $\mu' - \alpha' \approx 1$ 的點，此點所表示的磁場強度範圍，可以用以構成場移隔離器。

三 鐵氧化物元件的应用

篇首已經介紹過，微波鐵氧化物在波導技術中的應用，提供出多種極有價值的新元件。目前在使用這類鐵氧化物的非互易特性上取得的效果最大。鑑於鐵氧化物的幾何尺寸，波長愈短，鐵氧化物技術的應用愈有效。本節所述均以 3 厘米波段中的試驗為依據，然而亦可相應地引用于波導技術中的其它頻段。

在理論上闡明各種微波元件是很複雜的。所有假設，僅作為從理論上探求鐵氧化物特性的基礎，在實踐中是碰不到的。在元件方面，人們始終在探討鐵氧化物的最終尺寸，在此同時，亦一起考慮了元件的形狀。此外，鐵氧化物僅占據波導（橫截面）的一部分，

并且常常是非对称性的。

随着铁氧体在波导技术中的应用，对铁氧体材料提出了下述基本要求：

1. 高电阻率，不低于 10^8 欧/厘米²；
2. 衰减小；
3. 与高场移效应比相应的高法拉第效应比；
4. 对温度的关系要小。

对材料特性的其它要求，将在单独讨论各种元件时提出。在所有铁氧体中，锰镁铁氧体的参数对此频段最适宜。应该注意，这种铁氧体材料特别脆，机械加工很困难。下面所述，通常是对小功率而言（速调管功率）。各种微波铁氧体元件，在今天已是形形色色，本文仅叙述其中具有代表性的。试验采用成分固定的普通锰镁铁氧体进行。

1. 法拉第效应

概 述

在一个圆形截面的波导中，传播着 H_{11} 波；为产生法拉第旋转，在该波导中按轴向装入与电磁波传播方向平行的铁氧体；此铁氧体经过磁化，最好为圆柱形或截面为正方形的棒状。铁氧体的横截面远小于波导的截面。外磁场强度与用于谐振吸收的磁场强度相比是很小的。

一个波在通过铁氧体后，其偏振面的旋转称作法拉第效应。由于这种现象的旋转方向与电磁波传播方向无关，故出现了法拉第效应的非互易特性。磁化方向变化便引起法拉第旋转方向改变。

图 8 示出法拉第旋转角 Ψ 与激励出磁场 H 的线圈电流强度 I 间的特性关系。旋转角 Ψ 在磁场恒定时，与铁氧体的长度、截面和圆形波导截面的比有关，亦与铁氧体材料本身有关。必须很好使铁氧体匹配。铁氧体的匹配是多种因数的函数，因此，其曲线是难以全面了解的。通常在旋转区内有强烈的匹配起伏发生。